

血液製剤の NAT 試験の評価技術の開発と国際動向の研究

担当責任者 内田恵理子（国立医薬品食品衛生研究所 遺伝子医薬部 第一室長）

研究要旨：

血液製剤のウイルス安全性確保の一環として、Parvovirus B19(PV B19)検出のための NAT の精度評価のための参照パネルについて、IU 単位と感染価の関係を評価するために Ku812 のサブクローンを分離し、従来よりも定量性のあるインビトロ細胞アッセイ系の確立を行った。その結果、ジェノタイプ 1 及びジェノタイプ 2 について感染性を比較可能な細胞系が樹立できた。従来の手法はインビトロで細胞に感染した Parvovirus B19 ゲノムから読み取られたスプラインシング mRNA を測定するものであったが、今回樹立した系ではウイルスゲノム DNA そのものの増幅を指標に感染性を評価することが可能であった。

この感染系を用いて Parvovirus B19 が感染するとされる網状赤血球のいくつかの受容体発現と感染性の関係についても明らかにすることができた。次年度以降に本アッセイ系を用いて Parvovirus B19 の国際単位と感染能との関係について明らかにする予定である。

また、血液製剤のウイルス安全性確保のための環境整備に関する研究として、E 型肝炎ウイルス（HEV）参照パネルについてリアルタイム PCR を用いて 2 つのジェノタイプ（ジェノタイプ 3 及び 4）の国際単位に対する校正を行い、参照パネルを用いて NAT 試験のバリデーションを行う場合の情報を提供するようにした。

担当協力者

埴 美玲 国立医薬品食品衛生研究所
豊田淑江 国立医薬品食品衛生研究所

A. 目的

血液製剤のウイルス安全性は長年にわたる検出手法の開発、改良により大きく向上してきている。特に、1990 年代後半より、原料血漿のウイルススクリーニングとして核酸増幅試験（NAT）が実施されるようになり、その安全性は飛躍的に増してきている。しかしながら、NAT 検査においても現在の技術では検出できないウインドウ期が存在し、きわめて低頻度であるが検査をすり抜けたウイルス陽性血液製剤により感染が起こることが報告されてきている。また、輸入感染症とも言われる海外のみで見られるサブタイプ、ジェノタイプへの対応も指摘されてきている。

一方で、NAT の技術開発にも大きな努力が払われており、試験に用いる検体量や抽出効率の改良、さらには輸入感染症への対

応などに多くの努力が払われている。わが国でも、欧米と同様に血液製剤のウイルス安全性指針の下位指針として NAT のウイルス検査についてのガイドラインを発出しているが、FDA 等では既に、このような技術進歩や社会的要因を含めた対応のためにガイドラインの策定や改定が行われている。

その一方で、近年 NAT のすり抜けによる HIV 感染が起こり、現行の高感度な NAT 試験法でも検出されないほどの低濃度の HIV 感染血であっても伝播が起こりうるということが分かった。血液製剤のウイルス安全性にゴールはないかもしれないが、可能な限りそのリスクを低減化していく対応が求められる。

さらに NAT 試験としては HCV、HBV、HIV が対象として、これらのウイルスの標準品や参照パネルが作製され、さらに採用する NAT 試験の要件として、これらのウイルスについて 100IU（HCV、HBV）から 200IU（HIV）の感度を求めている。しかし、これ以外のウイルスについてもいくつ

か輸血後感染の事例も報告され、今後試験の実施の必要性について議論が必要となってきた。すでに HEV についてはその疫学的な情報等から北海道地域に限定して試行的な NAT スクリーニング試験が実施されている。また、Parvovirus B19 についても一部の血液製剤メーカーで NAT による試験が実施されている。また FDA は Parvovirus B19 に関しては抗体の保有率等から血漿分画製剤の原料として用いる場合には 10^4 IU/ml 以上の感度を持つ試験の実施が必要としている。

本研究では、このような現状を考慮し、現行の NAT 試験の対象とされている HCV、HBV、HIV 以外のウイルスについて標準品や参照パネルの整備を行うと共に、NAT で求めるべき感度の基礎データを得るために国際単位と感染性との関連について評価を行う。

本年度はヨーロッパ薬局方で NAT 試験の導入が提案されていることを受け、HEV 参照パネルについて国際標準品との校正を行った。

Parvovirus B19 の参照パネルを活用していくために、Parvovirus B19 のより定量性の高い感染系の確立を目指した。

ウイルス NAT の環境整備を目的として、以前樹立した E 型肝炎ウイルス (HEV) の参照パネルについて、コピー数により表示されている表示単位を国内標準品を用いた国際単位に換算するための検討を実施した。

B. 方法

B.1. PV B19 の感染性評価系の開発

EPO 存在下に Ku812 細胞を限界希釈による培養を行い、PV-B19 を感染させた時に最もゲノムコピー数の増加が得られるクローンを選択した (図 1)。最も高い増幅が得られたクローンを複数選択し、さらに細胞増殖性などを考慮して一つのクローン Ku812 E2 を選択した。

最も PV B19 のゲノムの複製が起こる条件を明らかにするために、複数の培養条件でウイルスの増幅を測定した。すなわち Ku812 E2 細胞を OptiMEM に 1×10^6 cells/ml になるように懸濁し、 10^6 ウィルス/ml になるように PV B19 を添加して 1

時間インキュベートした。細胞を遠心操作により分離後、ASF104 無血清培地、1% FBS を含む RPMI1640 培地、及び 10%FBS を含む RPMI1640 培地に懸濁し、培養を行った。培養開始 0 日として、一定時間ごとに細胞を含む培養液、細胞のみ、細胞上清をサンプリングし、ゲノム抽出を行った。

B.2. PV B19 参照パネルの感染性評価系による評価

Ku812 E2 に PV-B19 を感染させ細胞を含む培養懸濁液から DNA を抽出し、ウィルスゲノム量を定量的 PCR により解析した。プライマー/プローブの組み合わせとしては次の 2 種類を検討した。

NS 1 プライマー/プローブ

Forward primer (1909-1925): 5'-CTCAT CACYCCA GGCGC-3'

Reverse primer (2009-1989): 5'-GAGG AAAGTGG RGCTTCCGACA-3'

Probe (1961-1984): 5' FAM-TCCCC GGGACCAGTTCAGGAGAAT-TAMRA-3'

VP2 プライマー/プローブ

Forward primer: 5'-TGG CCC ATT TTC AAG GAA GT-3'

Reverse primer: 5'-CTG AAG TCA TGC TTG GGT ATT TTT C-3'

Probe: 5'(FAM)-CCG GAA GTT CCC GCT TAC AAC-(TAMRA)3'

B.3. Ku812 E2 細胞の網状赤血球分化抗原による分離

網状赤血球の分化抗原である CD55 (グリコシル-ホスファチジルイノシトール (GPI) 結合型の単鎖細胞表面タンパク質である Decay Accelerating Factor (DAF))、CD59 (プロテクチンもしくは Membrane Inhibitor of Reactive Lysis (MIRL))、Glycophorin A を指標として、Ku812 E2 細胞をそれぞれの陽性細胞と陰性細胞に分画した。これらの細胞を OptiMEM に 1×10^6 cells/ml になるように懸濁し、 10^6 ウィルス/ml になるように PV B19 を添加し、1 時間インキュベートした。細胞を遠心操作により分離後、10%FBS を含む RPMI1640 培地に懸濁し、培養を行った。

B.4. PV B19 ジェノタイプの感染性の差異

PV B19 のジェノタイプの感染性の強さの違いについて Ku812 細胞で評価可能か検討するために上記と同様の方法で感染実験を行った。

B.5. HEV パネル力価の国内標準品による校正

(1)HEV パネル

HEV 参照パネルは日本血液製剤機構(旧(株)ベネシス)より供与されたパネル候補品を基に国内共同検定により樹立したもので、国立医薬品食品衛生研究所で参照パネルとして保管しているものを使用した。パネルの詳細を表 1 に示す。

(2)感度検定用標準 RNA

標準 RNA 液は HEV PC RNA (G3jp、G3sp、G4jp 用) と HEV G3us PC RNA (G3us 用) の二種類ある。Pellet Paint (Novagen) という共沈剤を含み、70%エタノール中で不溶化した状態で 10^7 copies/1.5mL チューブに -80 °C で保存したものをを用いた。本チューブを室温で溶解後、卓上遠心機で 14000rpm 10 分遠心した。遠心により Pellet Paint の鮮やかなピンク色の沈殿を吸い込まないように上清を除いた。300 μ L の 70%エタノールを添加しチューブ内を洗浄後、14000rpm、3 分遠心し再度上清を除き、ふたを開けたまま数分放置した。その後 1mL の滅菌水を加え、細いチップで沈殿をほぐし、20 回ピペティングして溶解させた後、ふたを閉め vortex を 15 秒間行ない、遠心機でスピンドウンし、本液を 10^5 copies/10 μ L 液とした。次に滅菌水 900 μ L を加えた 1.5mL チューブに 10^5 copies/10 μ L 液を 100 μ L 加え、前述と同様の操作を行ない 10^4 copies/10 μ L 液を調製した。さらに同様の操作で 10^3 copies/10 μ L 液、 10^2 copies/10 μ L 液を調製した。これら 4 本の調製液を標準 RNA 液として定量 RT-PCR を各濃度 3well で実施した。

(3)国内標準品

HEV-RNA 国内標準品(第一世代)はロット番号 JEV-(3b)HE3、250,000IU/mL の

0.5mL 凍結乾燥品であり、国立感染症研究所から入手後、-80 °C で保存した。使用時には室温に戻し、注射用水 0.5mL に溶解後、分注して使用し残りは -80 °C で保存した。

(4)ウイルス RNA の抽出

HEV 参照パネル及び HEV-RNA 国内標準品からのウイルス RNA の抽出は、QIAamp Viral RNA mini kit (Qiagen) を使用してマニュアルに従い試料 140 μ l から抽出を行い、50 μ l の Buffer AVE で溶出した。定量 PCR には溶出液 40 μ L をとり、60 μ L の TE を加えて 2.5 倍希釈後、各試料 1 well に 10 μ L ずつ 3 well を用いて定量 RT-PCR を実施した。

(5)定量 RT-PCR

定量 RT-PCR は QuantiTect Probe RT-PCR kit (Qiagen) を使用し、ABI7500 定量 PCR 装置を用いて定量した。使用したプライマー、プローブセットの配列を以下に示す。

HEV PC RNA(#1-4)測定用

Forward primer (HE86): 5' -GGTGGTTTCTGGGGTGAC-3' ;
Reverse primer (HE87) : 5' -AGGGGTTGGTTGGATGAA-3'
TaqMan probe (FHE88) : 5' -FAM-TGATTCTCAGCCCTTCGC-BHQ 1-3'

HEV G3us PC RNA(#5)測定用

Forward primer (HE86), Reverse primer (HE87)は HEV PC RNA 測定用と同じ。
TaqMan probe (FHE100) : 5' -FAM-TGATTCCCAGCCCTTCGC-BHQ 1-3'

HEV G3us PC RNA(#5)と国内標準品同時測定用 (M8-2)

Forward primer M8-F-2 : 5' -CCTTCGCCCTCCCCTATATTCA-3'
Reverse primer M8-R-2 : 5' -CCAGCCCCGGATTGTGAAAC-3'
TaqMan probe M8-P-2 : 5' -FAM-CAACCAACCCCTTCGCCGCCG AT-BHQ1-3'

C. 結果

C.1. PV B19 の感染性評価系の樹立

PV B19 はエリスロポエチン (EPO) 存在下に Ku812 細胞に感染することが知られており、この細胞系を用いて感染性を評価されている。この感染系では細胞に感染した PV B19 は細胞変性を起こすことなく持続感染をするのみであり、またゲノムの増幅を検出することも難しいとされている。このため PV B19 ゲノムから読み取られたスプライシング mRNA を検出することにより感染性が評価されている。この場合必ずしもウイルスゲノムの増幅とは関連しない。

そこで、EPO 存在下に Ku812 細胞を限界希釈による培養を行い、PV-B19 を感染させた時に最もゲノムコピー数の増加が得られるクローンを選択した (図 1)。最も高い増幅が得られたクローンを複数選択し、さらに細胞増殖性などを考慮して一つのクローンを選択した (Ku812 E2)。ウイルス増幅能の高いクローンと増幅能の低いクローンを選択し感染後のウイルスゲノムの増幅を継時的に測定すると図 2 に示すように、増幅能の違いが明確となった。選択したクローン (Ku812 E2 細胞) を遠心して細胞を沈殿させるとペレットはヘモグロビン産生によると考えられる赤色を呈していた (図 3) が、増幅能のほとんどないクローンはこのようなヘモグロビン由来と考えられる赤色は呈していなかった。また、この細胞を凍結融解により細胞を破碎し、その抽出物のスペクトル解析を行うとヘモグロビンに相当する可視部に吸収スペクトルが得られた。親株である Ku812 細胞ではクローン株のような赤色を呈することはなく、また抽出操作を行ってもヘモグロビンのスペクトルは得られなかった。

このことから PV B19 に指向性のある細胞はヘモグロビン産生を行うまでに分化した網状赤血球であると考えられた。

C.2. Ku812 細胞での PV B19 の増幅条件の検討

Ku812 E2 細胞に PV B19 を感染させた後、無血清培地や低血清条件、及び通常の 10%FBS 存在下で培養を行い、ウイルスゲノムが最も増幅する条件を検討した。図

4 に示すように、通常、ウイルス増幅は細胞の増幅を抑制するような 1%FBS 条件化で培養したときに高い増幅が観察されるが、PV B19 は 10%FBS の方が 1%FBS よりもはるかに高い増幅を示した。

これは単に細胞の増幅条件として 10%FBS が適しているということではないと考えられる。というのも 2 種類の無血清培地を用いて培養を行ったが、両方の培地で Ku812 E2 細胞は RPMI 1640 培地と同等の増幅が認められたのにも関わらず、ウイルスの増幅はやはり 10%FBS を含む RPMI1640 培地が最も高い PV B19 の増幅が認められたからである。

一方この培養条件で増幅した PV B19 のゲノムが細胞内あるいは上清のどちらに検出されるのかを検討した。その結果、いずれの条件においても上清中にはわずしか検出されず、ウイルスは細胞内のみ検出された。また、この上清、あるいは細胞溶解液に感染性ウイルスが存在するかの検討を行った。しかし、いずれの条件でも Ku812 E2 細胞への感染性を検出できることはなかった。従って、Ku812 E2 細胞への PV B19 の感染ではゲノムの複製が起こっているものの、感染性をもつウイルス粒子は放出されないと考えられる。

一方、Ku812E2 細胞に PV B19 を感染させた後、細胞内 PV B19 粒子タンパク質の翻訳が起きているかを抗 PV B19 抗体を用いて免疫染色を行ったところ、ウイルスタンパク質の発現が蛍光免疫染色によって確認された。

C.3. Ku812 細胞への PV B19 の感染に及ぼす抗 PV B19 抗体の影響

すでに抗 PV-B19 抗体が Ku812 細胞を用いた in vitro 感染実験系で感染能を阻害することが示されている。我々も抗 PV B19 抗体が Ku812 E2 細胞への感染を阻害するか確認した (図 5)。2 種類の PV B19 検体を用いて感染実験を行ったが、抗体非存在化では継時的なウイルスゲノムの増幅が確認されたが、抗体存在下ではこのようなウイルスゲノムの増幅は認められなかった。また、WHO の PV B19 参照パネルはジェノタイプ 1 から 3 を含み、それぞれに抗 PV B19 抗体が添加されている。

WHO 参照パネルはこの Ku812 E2 細胞での感染性が示されず、WHO が安全性の観点から添加している抗体が十分にその機能を果たしていることが示される。

C.4. PV B19 参照パネルの感染性評価

PV B19 の安全対策の一環としてこれまでに厚生労働研究事業においてジェノタイプ 1 とジェノタイプ 2 の高タイター及び低タイター参照パネルを作製した。それぞれのタイターは国際標準品に対して校正されている。

この PV B19 の参照パネルの有用性を評価する目的の一環として上記で樹立した Ku812 E2 細胞を用いてその感染性を比較することにした。

ウイルスの増幅能の比較では、Ku812 E2 細胞と Ku812 E17 細胞の 2 種類の細胞を用いて、ジェノタイプ 1 とジェノタイプ 2 の 2 つのウイルスを感染させ、そのゲノムの増幅を継時的に測定した。図 6 に示すように、感染後の継時的なゲノム量の増幅はジェノタイプ 2 の方がジェノタイプ 1 よりも高いという結果が得られた。このジェノタイプ 1 と 2 の感染力の差異は、用いる細胞が変わっても同様の傾向が得られた。感染性が高い細胞内でのゲノムの増幅能に違いがあるのかについては不明である。

C.5. Ku812 E2 細胞での網状赤血球抗原の発現の違いと PV B19 の増幅能の差異

網状赤血球の表面マーカーとしては CD55、CD59、Glycophorin A などが知られている。そこでこれらの網状赤血球抗原の発現の違いと Ku812 細胞の PV B19 に対する感受性を評価した。このために網状赤血球抗原発現の陽性、及び陰性細胞を分取し、PV B19 を感染させて、PV B19 の増幅能を比較した。図 7 に示すように、CD55+細胞と CD55-細胞は同様の PV B19 増幅能を示したが、CD59-陰性細胞では CD59+陽性細胞に比較して殆ど PV B19 の増幅が認められなかった。また、Glycophorin+細胞も Glycophorin 陰性細胞に比較して PV B19 の増幅は殆ど認められなかった。これらの結果から、PV B19 の増幅に感受性のある細胞は網状赤血球

でも特定の抗原を持つ細胞に限定される可能性が示された。Glycophorin A+細胞はヘモグロビンをほとんど持たない細胞であり、Glycophorin A-細胞はヘモグロビンを強く発現していた。

C.6. HEV パネルの表示単位の国内標準品を用いた校正

我々は、2010 年に国内 6 施設（国立医薬品食品衛生研究所、国立感染症研究所、（株）ベネシス、日本赤十字社、日本製薬（株）（財）化学及血清療法研究所）の参加による共同検定を実施し、HEV-NAT 試験用参照パネルを樹立した。参照パネルは国内の HEV の遺伝子型である 3 型又は 4 型の 4 種類のクラスター（G3jp, G3us, G3sp, G4jp）に属し、実験感染ブタ糞便から得た 4 株と培養細胞で増幅した 1 株の計 5 株をヒト血清で約 10^5 copies/ml に希釈し、0.5ml ずつ分注したものである。共同検定では、感度検定用標準 RNA としてパネル #1-4 は HEV PC RNA を、パネル #5(G3us) は HEV G3us PC RNA を用いてコピー数で値付けした（表 1）。しかし、HEV genotype 3b 陽性血漿を原料として製造された HEV-RNA 国内標準品が 2013 年に制定されたことから、コピー数で表示されている各パネルの表示単位について、国内標準品に基づく国際単位（IU）でも表示するための検討を行った。

まず、HEV-RNA 国内標準品を定量 PCR のスタンダードとし、各参照パネルを IU 単位で定量する方法を試みたが、HEV G3us PC RNA(#5)測定用のプライマー、プローブセットでは HEV-RNA 国内標準品は検出できず、この方法では swJB-M8(G3us)の IU 単位を求められないことが判明した。また、HEV-RNA 国内標準品を用いて各パネルの IU 表示単位をそれぞれ新たに算出すると、共同検定により定めたコピー数が IU 表示単位に反映されないことになる。そこで、共同検定の際、コピー数を定めるために用いた感度検定用 RNA を基準として定量 RT-PCR により HEV-RNA 国内標準品（250,000IU/mL）を測定して何コピーに相当するかを算出し、コピー数と IU 単位との換算係数を求め、換算係数を基に各パネルの IU 単位を算出することにした。また、

HEV G3us PC RNA を感度検定用標準 RNA とし、FHE100 をプローブとした場合、HEV-RNA 国内標準品を測定できないことから、HEV G3us PC RNA 及び参照パネル #5(G3us)と HEV 国内標準品を同時に測定可能な新たなプライマー・プローブセットとして、両者をミスマッチなく検出可能な M8-2 を設計して使用することとした。

HEV-RNA 国内標準品について、4 回の試験を実施して IU とコピー数の換算係数 (IU/copies) を求めたところ、HEV PC RNA を基準にした場合の平均値が 0.41、HEV G3us PC RNA を基準にした場合の平均値が 0.59 と算出された(表 2)。得られた IU/copies 換算係数を用いて参照パネルの換算 IU 値を算出した(表 3)。

D. 考察

PV B19 のジェノタイプパネルの有用性評価の一環として、より簡便にその感染性を評価可能な Ku812 細胞クローンの選択を行った。樹立した細胞は、ゲノムコピー数の増幅を指標としてウイルスの感染性を簡便に測定可能であり、また継時的なウイルス増幅測定も可能であった。また、従来の *in vitro* 感染系と同様に抗 PV B19 抗体により感染性が中和されることも確認できた。

この Ku812 E2 細胞を用いて PV B19 のジェノタイプによる感染・増幅能の差異について検討した。その結果、ジェノタイプ 2 がジェノタイプ 1 に比較して高い増幅能を示した。この差異はウイルスの感染性の違いによるのか増幅能の違いによるのかについては不明であった。感染した Ku812 E2 細胞内でのウイルス抗原の発現について差異があるか検討したが、ゲノムコピー数の差異ほどの大きな違いは認められなかった。

また、PV B19 の Ku812 細胞への感染は網状赤血球への感染のモデルと考えられている。そこで網状赤血球の分化抗原を指標として Ku812 E2 細胞を分画し、分化抗原の発現と PV B19 への感受性の関係について解析を行った。その結果、Ku812 E2 細胞で CD59⁺/Glycophorin A/CD55⁺ 細胞という限定された抗原陽性細胞で遺伝子の増幅が認められることが示された。

このことは PV B19 は網状赤血球の特定のステージで感染・増幅が起こることを示している可能性がある。

今後 PV B19 の増幅ステージでの同定を行うと共に、この定量的な感染性評価系を用いて、*in vitro* での最小感染価を明らかにすると共に、その感染価と IU との関係性を明らかにする。これらの結果を検査で求められる検出感度と PV B19 の感染性との相関性を明らかにすることに用いていく。

HEV は EU で感染の広がりが懸念されており、血漿分画製剤原料に対して HEV の検査の必要性が議論されている。わが国は、EU ほど陽性頻度が高くないことなどから、陽性頻度の高い北海道で試験的に NAT 検査が実施されている。一方、2014 年から日本赤十字の北海道での HEV NAT 検査に個別検査が適用されたが、その結果陽性頻度が高くなる傾向が示されている。まだデータ収集が開始されたばかりであり、現時点で判断するのは困難であるが、将来の対応を考える場合に NAT 試験評価に HEV 参照パネルが用いることができるのでは期待される。

2010 年に共同検定を行った HEV パネルについて HEV 国際標準品が作製されたことからその IU 単位への校正を行った。その結果 Table 3 で示すように、4 つのジェノタイプについて IU 値を求めることができた。但しクラスター G3us Genotype swJB-M8 は用いるプライマーが他の参照パネルとは異なる点に配慮が必要と考えられる。

E. 結論

Ku812 細胞から EPO 存在下に PV B19 感染に感受性の高いクローンを樹立した。このクローンを用いて PV B19 のジェノタイプによる感染・増幅能の差異を評価可能であった。今後、この細胞を用いて検査で求められる検出感度と PV B19 の感染性との相関性を明らかにすることに用いていく。

また、HEV-RNA 国内標準品を用いて、コピー数で表示されている HEV-NAT 試験用参照パネルの参考値として国際単位 (IU) を算出した。

G 研究発表

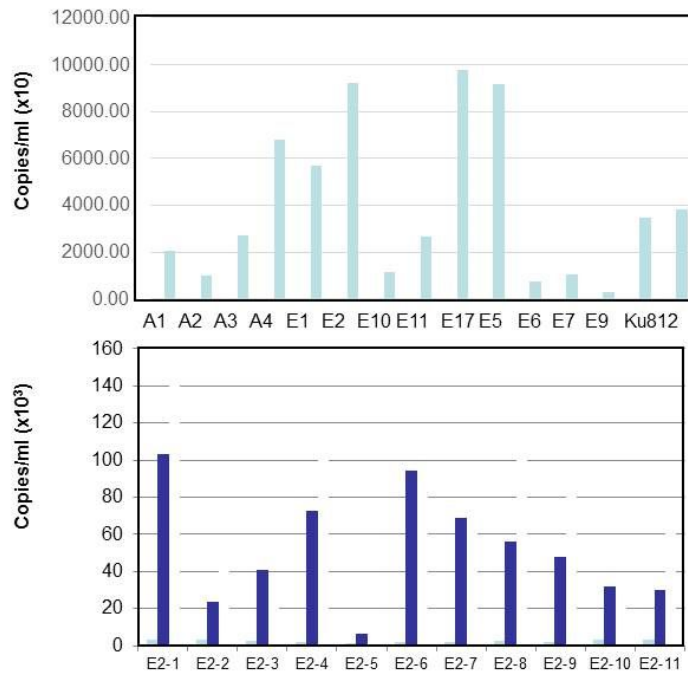
(1)論文発表

1. 山口照英、内田恵理子：遺伝子治療の開発に関する我が国の規制と海外動向、Pharma Medica（印刷中）
2. 内田恵理子、古田美玲、菊池裕、窪崎敦隆、遊佐精一、宮原美知子、佐々木裕子、小原有弘、大谷梓、松山晃文、大倉華雪、山口照英：日本薬局方参考情報収載マイコプラズマ否定試験のPCR法改正のための共同研究、マイコプラズマ学会雑誌（印刷中）
3. 内田恵理子、五十嵐友香、佐藤陽治：遺伝性難病に対する遺伝子治療薬の臨床開発促進のためのレギュラトリーサイエンス共同研究、衛研報告 132, 10-12（2014）
4. 内田恵理子、古田美玲、菊池裕、窪崎敦隆、遊佐精一、宮原美知子、佐々木裕子、小原有弘、大谷梓、松山晃文、大倉華雪、山口照英：細胞基材に対するマイコプラズマ否定試験のPCR法の見直しに関する研究、医薬品医療機器レギュラトリーサイエンス 45（5）, 442-451（2014）
5. Teruhide Yamaguchi and Eriko Uchida: Oncolytic Virus: Regulatory Aspects from Quality Control to Clinical Studies, **Current Cancer Drug Targets** (in press)
5. 山口照英、内田恵理子、小野寺雅史：遺伝子治療製品の品質/安全性確保のための指針改定と国際調和、IMSUT-CGCT キックオフシンポジウム 2014, 2014.11.21、東京
6. 内田恵理子：マイコプラズマ否定試験の改正による NAT 法の積極的活用、第 13 回日本薬局方に関する研修会 2014 年 10 月 9 日(大阪), 15 日(東京)
7. Eriko Uchida: Current situation of advanced therapy regulation in the world, 第 20 回日本遺伝子治療学会学術集会(2014.8)（東京）
8. Eriko Uchida, Yuka Igarashi, Yoji Sato, Masafumi Onodera, Teruhide Yamaguchi: Study on the biosafety of ex vivo transduced cells with retroviral vectors and Cartagena protocol domestic law, 第 20 回日本遺伝子治療学会学術集会(2014.8)（東京）
9. Yuka Igarashi, Eriko Uchida, Masafumi Onodera: Quality control for the supernatants of retroviral vectors using a next-generation DNA sequencer, 第 20 回日本遺伝子治療学会学術集会(2014.8)（東京）
10. 内田恵理子、古田美玲、菊池裕、窪崎敦隆、遊佐精一、宮原美知子、佐々木裕子、小原有弘、大谷梓、松山晃文、大倉華雪、山口照英：日本薬局方参考情報収載マイコプラズマ否定試験のPCR法改正のための共同研究、日本マイコプラズマ学会第 41 回学術集会、2014 年 5 月 22 日～23 日（東京）

H. 知的財産権の出願・登録状況

- H-1 特許取得 なし
- H-2 実用新案登録 なし
- H-3 その他 なし

図1. Ku812細胞のクローニングとPV-B19の増幅能



多くのクローンを分取し、PV B19を感染後4-5日目に細胞懸濁液よりDNAを抽出した。

図2. 増幅能の大きく異なるKu812クローン(Ku812 E2細胞とKu812 A2細胞)でのPV-B19の増幅パターン

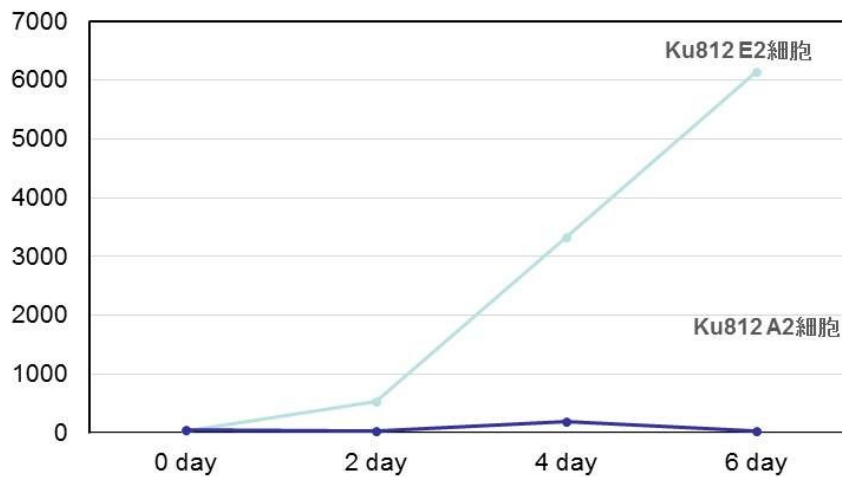


図3. Ku812とKu812-E2細胞の比較



Ku812-E2
細胞

Ku812
細胞

Ku812細胞とKu812-E2細胞、それぞれ107細胞を遠心して沈殿させた。Ku812-E2細胞は網状赤血球様にヘモグロビンを産生している。

図4. Ku812-E2細胞でのParvovirusB19の増幅と抗体の影響

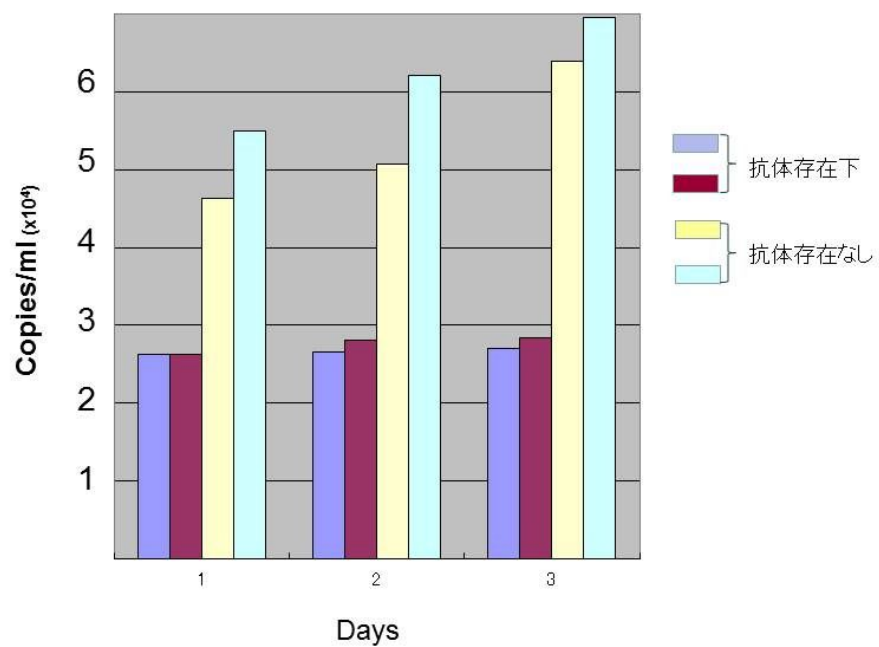


図5. PV B19のインビトロでのウイルス増幅に及ぼす培養条件の影響

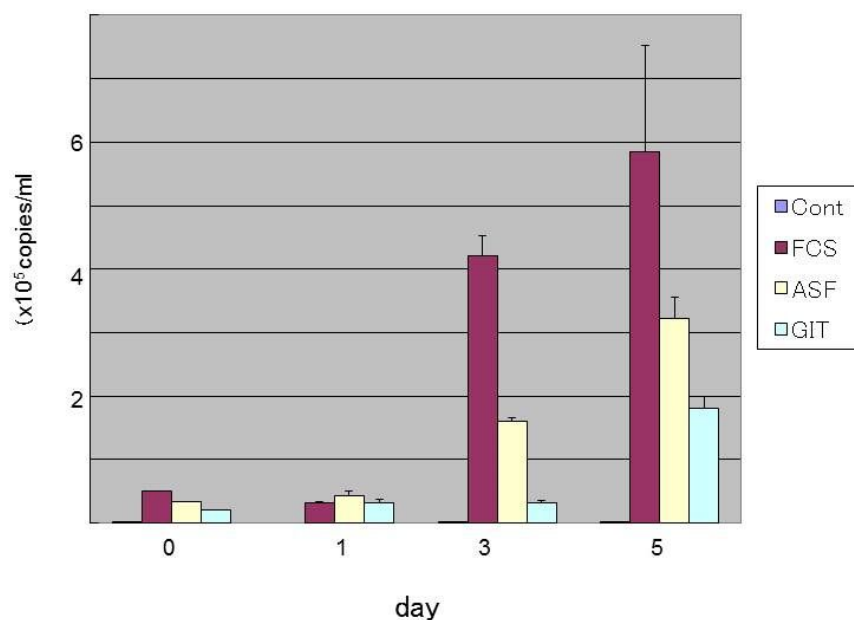
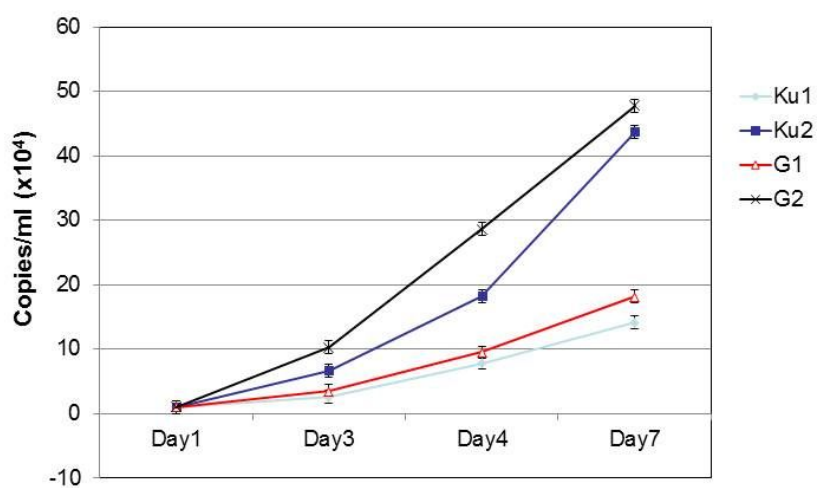


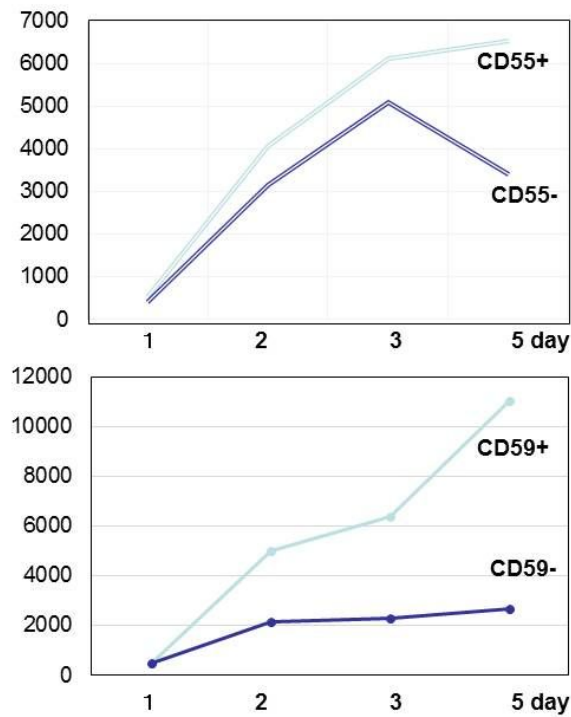
図6. 2種類のKu812細胞クローンによるPV B19のジェノタイプの増幅



Ku812 E2 (Ku) 及びKu812 E17 (G) を用いてPV B19のジェノタイプ1と2の増幅を解析した。

indicator cellの違い、1:ジェノタイプ1、2:ジェノタイプ2

図7. CD59+細胞とCD5-細胞でのPV-B19の増幅



Ku812E2細胞よりCD55及びCD59の陰性、陽性細胞を分離し、PV B19の増幅を解析した

表1 共同検定によるHEV参照パネルの表示コピー数

#	HEV参照パネル	クラスター	由来	Accession No.	容量 (mL)	Log copies/mL
1	swJR-P5	G3jp	実験感染ブタの糞便	AB481229	0.5	5.07 ± 0.35
2	swJB-E10	G3sp	実験感染ブタの糞便	AB481226	0.5	4.80 ± 0.33
3	swJB-E10cul	G3sp	swJB-E10株感染培養細胞上清		0.5	4.43 ± 0.31
4	swJB-M7	G4jp	実験感染ブタの糞便	AB481227	0.5	4.91 ± 0.42
5	swJB-M8	G3us	実験感染ブタの糞便	AB481228	0.5	5.27 ± 0.39

表2 HEV国内標準品のRNA標準品による測定でのIU/copies換算係数

定量スタンダード	国内標準品 (250,000 IU/mL) の測定値						
		1回目	2回目	3回目	4回目	平均	SD
HEV PC RNA	コピー数	593,829	631,650	676,194	553,981	613,914	45,246
	IU/copies換算係数	0.42	0.40	0.37	0.45	0.41	0.03
HEV G3us PC RNA	コピー数	359,890	443,302	518,032	427,805	440,408	56,205
	IU/copies換算係数	0.69	0.56	0.58	0.52	0.61	0.06

表3 HEV参照パネルのIU換算値

#	HEV参照パネル	クラスター	共同検定値		IU/copies換算係数	IU換算値	
			Log copies/mL	copies/mL		IU/mL	Log IU/mL
1	swJR-P5	G3jp	5.07±0.35	117,490	0.41	48,171	4.68
2	swJB-E10	G3sp	4.80±0.33	63,096	0.41	25,869	4.41
3	swJB-E10cul	G3sp	4.43±0.31	26,915	0.41	11,035	4.04
4	swJB-M7	G4jp	4.91±0.42	81,283	0.41	33,326	4.52
5	swJB-M8	G3us	5.27±0.39	186,209	0.59	109,863	5.04

